



EnInnov2026

## Numerisch stabiles thermisches Gebäudemodell für die elektrische Simulation von Niederspannungsnetzen

Hannes Hanse, M. Sc.  
hannes.hanse@tu-clausthal.de

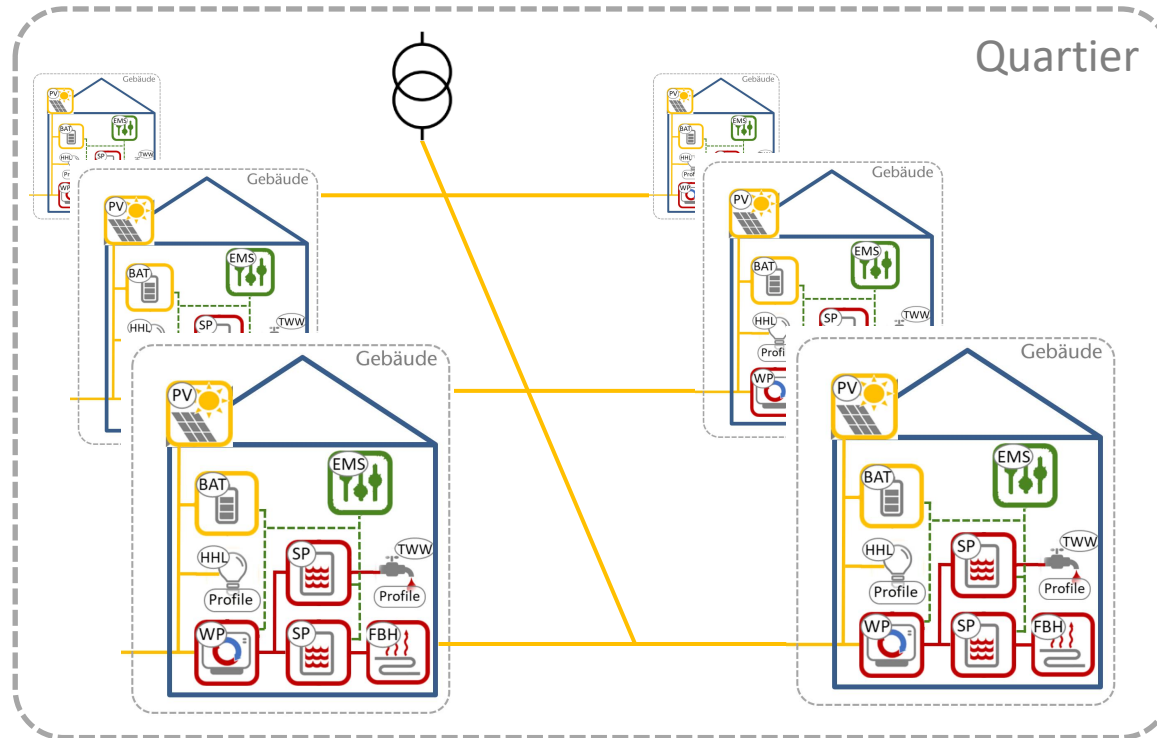
Prof. Dr.-Ing. Ines Hauer  
ines.hauer@tu-clausthal.de



# 1. MOTIVATION

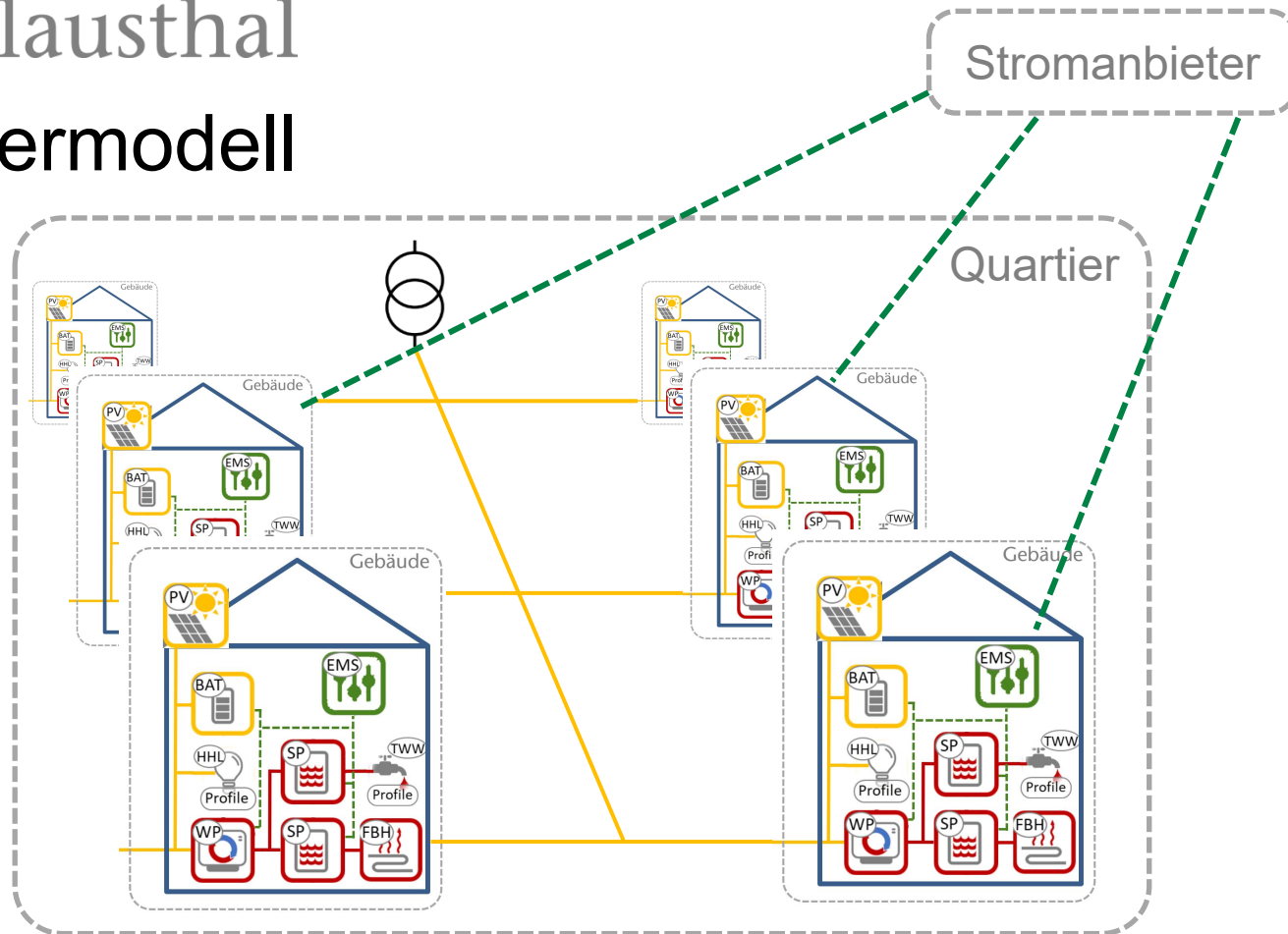
# TU Clausthal

## Quartiermodell



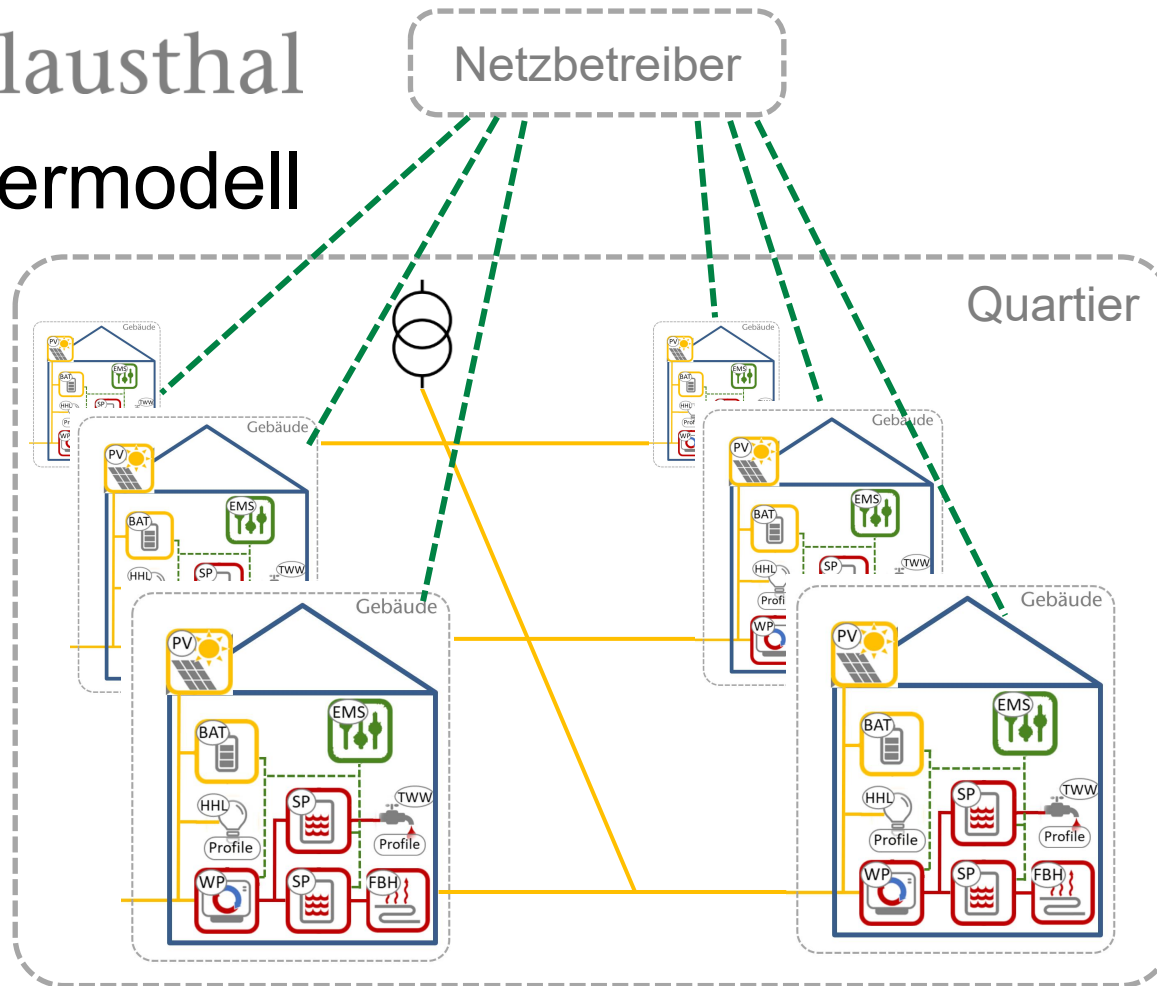
# TU Clausthal

## Quartiermodell

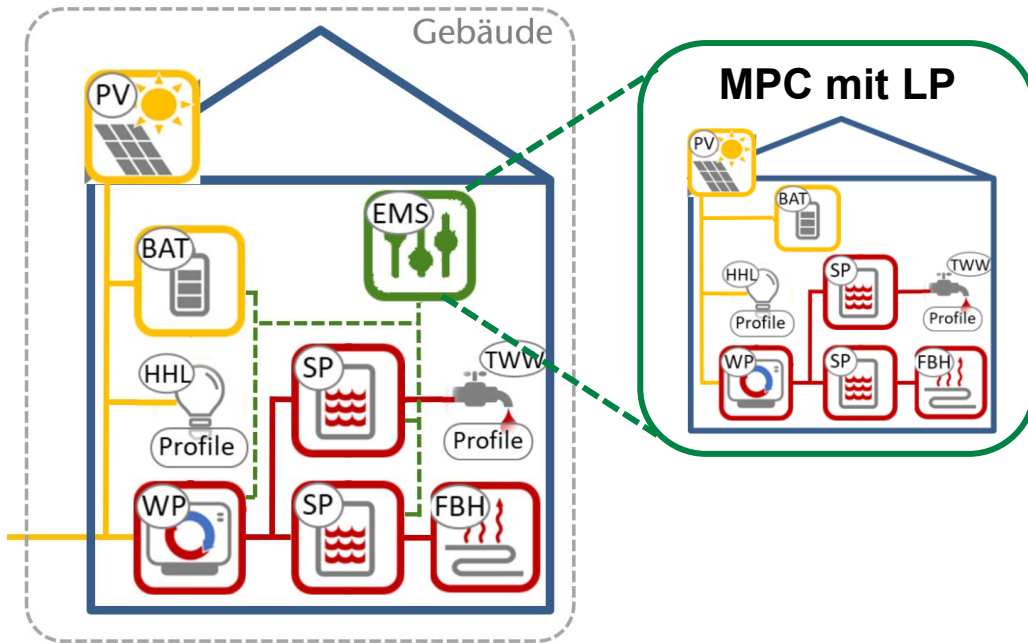


# TU Clausthal

## Quartiermodell

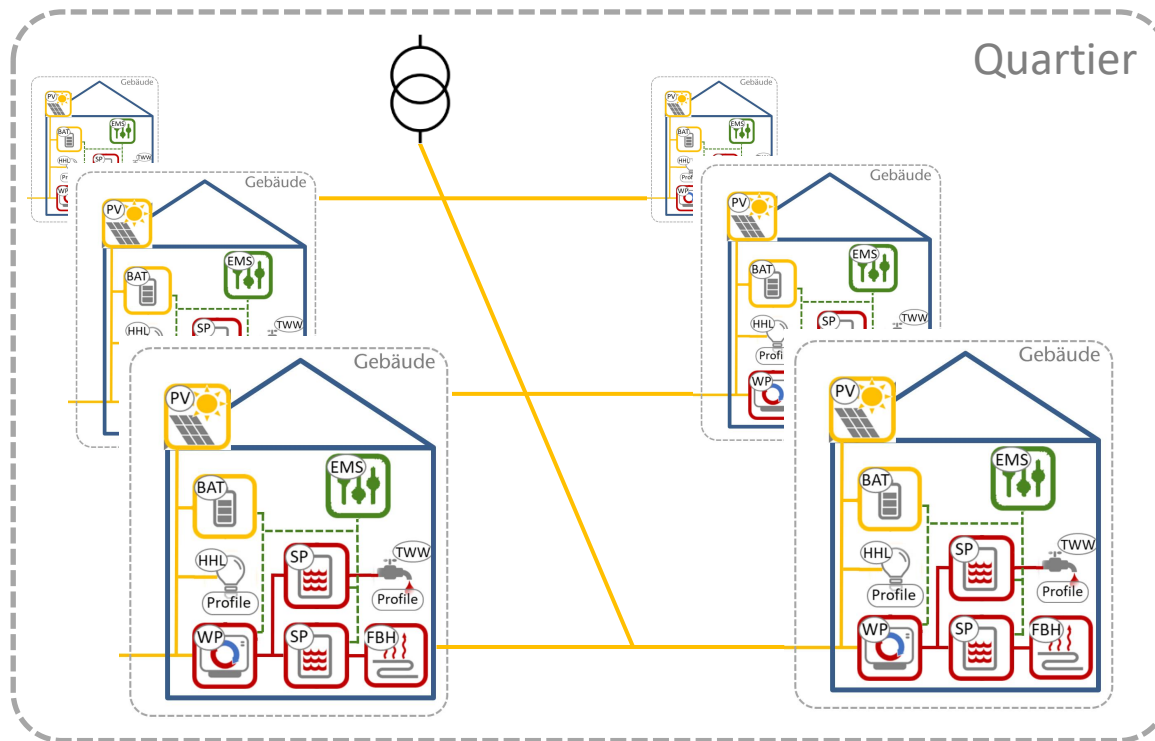


## Gebäudemodell



- Zeitreihensimulation
- Thermisch & elektrisch
- Modellprädiktive Regelung im EMS

## Quartiermodell



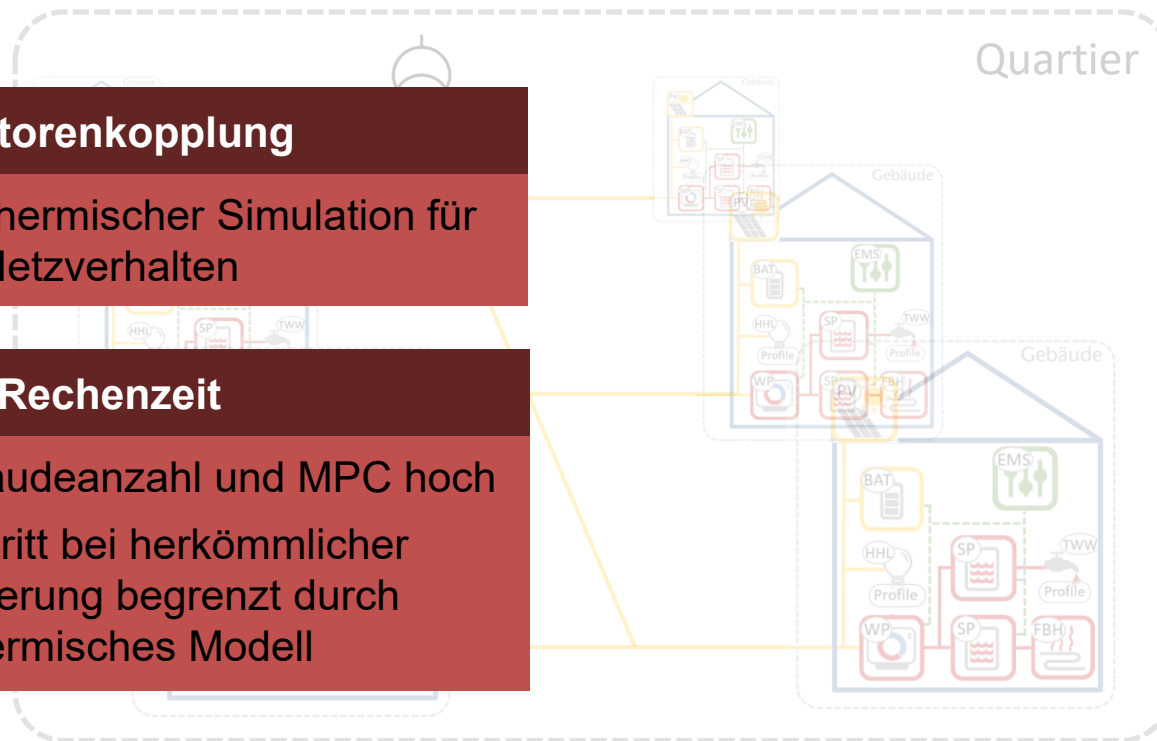
## Quartiermodell

### Sektorenkopplung

→ Relevanz thermischer Simulation für Netzverhalten

### Rechenzeit

→ Durch Gebäudeanzahl und MPC hoch  
→ Zeitschritt bei herkömmlicher Modellierung begrenzt durch thermisches Modell



## Quartiermodell

### Sektorenkopplung

→ Relevanz thermischer Simulation für Netzverhalten

### Rechenzeit

→ Durch Gebäudeanzahl und MPC hoch  
→ Zeitschritt bei herkömmlicher Modellierung begrenzt durch thermisches Modell

Quartier

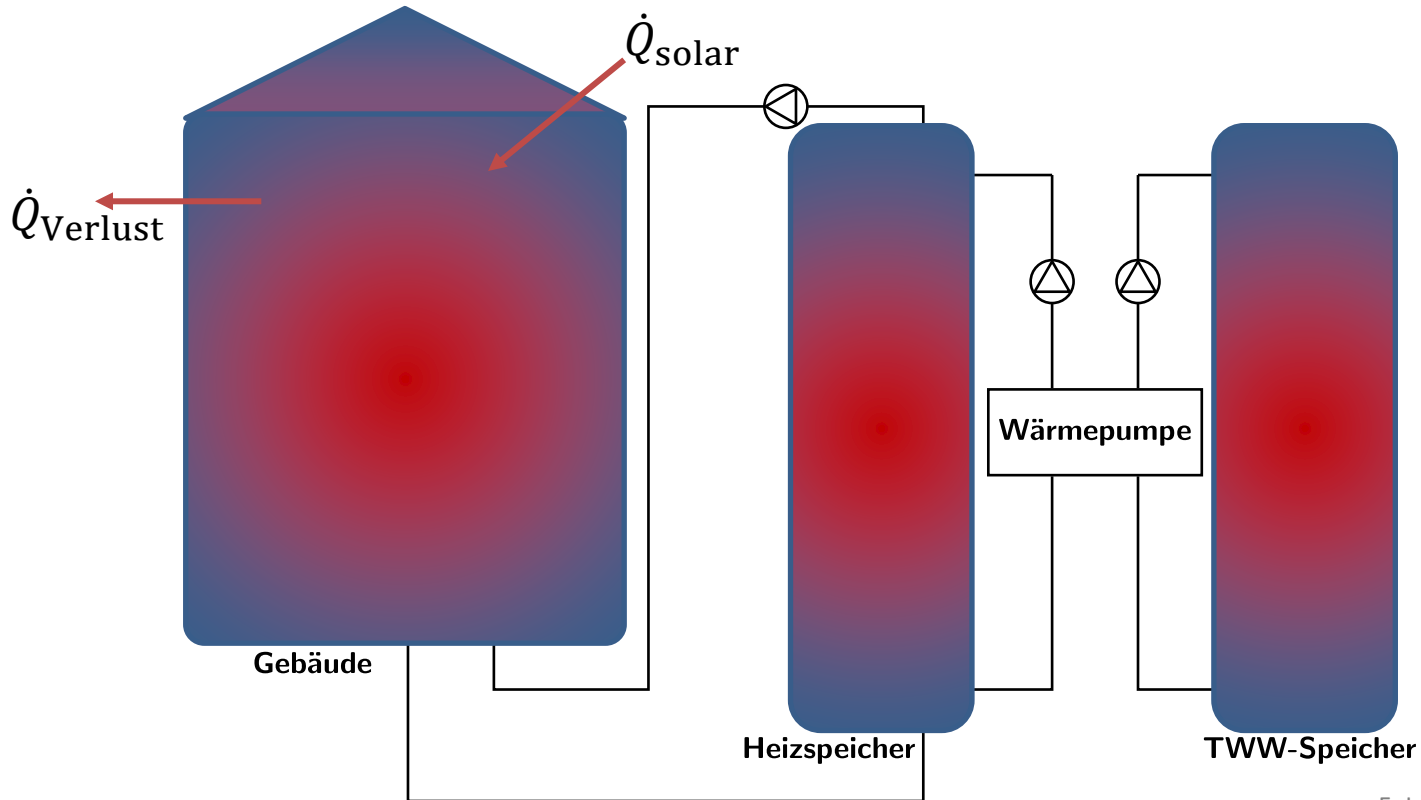
### Ziel

→ Größere Zeitschritte  
→ Stabile und genaue Diskretisierung der DGL im thermischen Modell

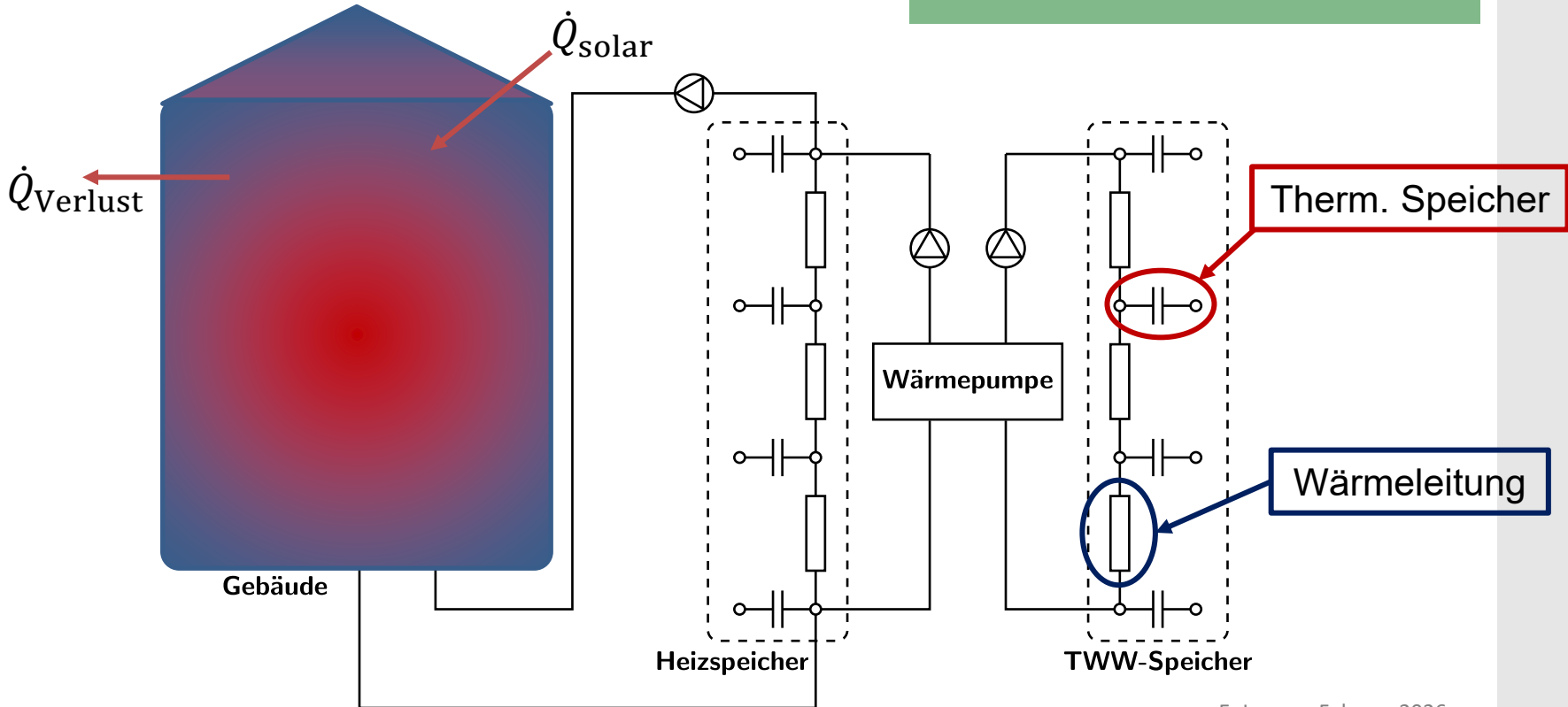


## 2. THERMISCHES MODELL

# Thermisches Modell



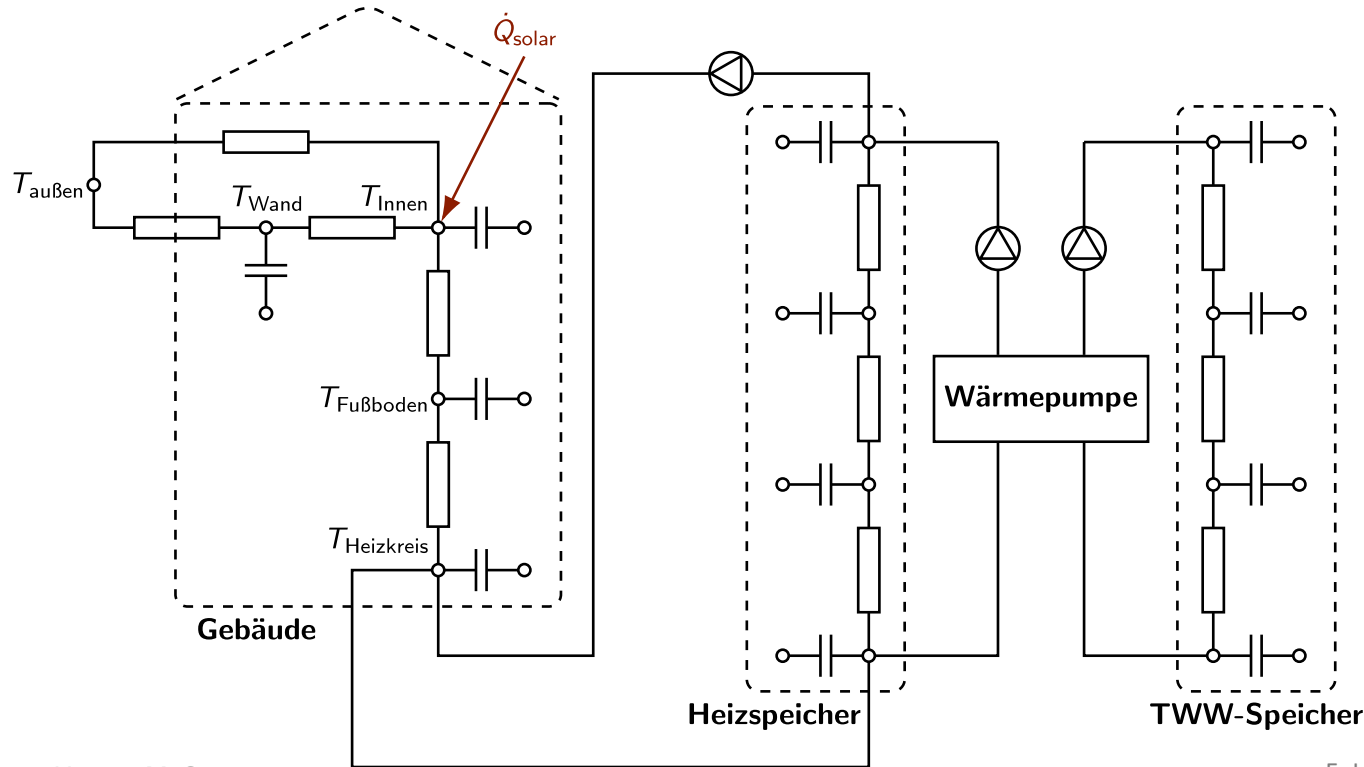
# Thermisches Modell



- ### RC-Modell
- Berücksichtigt Trägheit
  - Vertretbarer Rechenaufwand

## Thermisches Modell

- ### RC-Modell
- Berücksichtigt Trägheit
  - Vertretbarer Rechenaufwand



	DGL	VDI 6007	Expl.	Impl.	CN
Leitung	$\frac{dQ_{1 \rightarrow 2}}{dt} = (T_1 - T_2) Y_{\text{cond}}$				
Konvektion	$\frac{dQ_{1 \rightarrow 2}}{dt} = (T_1 - T_2) \dot{m} c_p$				

	DGL	VDI 6007	Expl.	Impl.	CN
Leitung	$\frac{dQ_{1 \rightarrow 2}}{dt} = (T_1 - T_2) Y_{\text{cond}}$	<ul style="list-style-type: none"> <li>▪ Übertragungsfunktionsmethode (TFM)</li> <li>▪ zeitinvariant</li> </ul>			
Konvektion	$\frac{dQ_{1 \rightarrow 2}}{dt} = (T_1 - T_2) \dot{m} c_p$				

	DGL	VDI 6007	Expl.	Impl.	CN
Leitung	$\frac{dQ_{1 \rightarrow 2}}{dt} = (T_1 - T_2) Y_{\text{cond}}$	<ul style="list-style-type: none"> <li>Übertragungsfunktionsmethode (TFM)</li> <li>zeitinvariant</li> </ul> <div style="border: 2px solid red; padding: 10px; margin: 10px auto; width: fit-content;"> <p style="text-align: center; color: white;">System ist zeitvariant → Methode ungeeignet</p> </div>			
Konvektion	$\frac{dQ_{1 \rightarrow 2}}{dt} = (T_1 - T_2) \dot{m} c_p$				

	DGL	VDI	Explizites Euler-Verfahren	Impl.	CN
Leitung	$\frac{dQ_{1 \rightarrow 2}}{dt} = (T_1 - T_2) Y_{\text{cond}}$		$Q_{1 \rightarrow 2, t} = (T_{1, t-1} - T_{2, t-1}) Y_{\text{cond}}$		
Konvektion	$\frac{dQ_{1 \rightarrow 2}}{dt} = (T_1 - T_2) \dot{m} c_p$		$Q_{1 \rightarrow 2, t} = (T_{1, t-1} - T_{2, t-1}) \dot{m} c_p$		

	DGL	VDI	Explizites Euler-Verfahren	Impl.	CN
Leitung	$\frac{dQ_{1 \rightarrow 2}}{dt} = (T_1 - T_2) \cdot Y_{\text{cond}}$		<pre># Einspeisung Wärmepumpe self.qPkt_wp = mPkt_wp * self.cp_fluid * (temp_wp_out - self.temp_u) / 3.6 qPkt_vPkt_wp_o = mPkt_wp * self.cp_fluid * (temp_wp_out - self.temp_o) / 3.6 qPkt_vPkt_wp_mo = mPkt_wp * self.cp_fluid * (self.temp_o - self.temp_mo) / 3.6 qPkt_vPkt_wp_mu = mPkt_wp * self.cp_fluid * (self.temp_mo - self.temp_mu) / 3.6 qPkt_vPkt_wp_u = mPkt_wp * self.cp_fluid * (self.temp_mu - self.temp_u) / 3.6</pre>		
Konvektion	$\frac{dQ_{1 \rightarrow 2}}{dt} = (T_1 - T_2) \dot{m} c_p$		<div style="border: 2px solid red; padding: 10px; text-align: center;"> <p>Numerisch instabil bei  <math>\Delta t &gt; 5 \text{ min}</math>  <math>\rightarrow</math> Methode ungeeignet</p> </div>		

	DGL	VDI	Expl.	ISO 52016 / Impl. Euler-Verfahren	CN
Leitung	$\frac{dQ_{1 \rightarrow 2}}{dt} = (T_1 - T_2) Y_{\text{cond}}$			$Q_{1 \rightarrow 2, t} = (T_{1, t} - T_{2, t}) Y_{\text{cond}}$	
Konvektion	$\frac{dQ_{1 \rightarrow 2}}{dt} = (T_1 - T_2) \dot{m} c_p$			$Q_{1 \rightarrow 2, t} = (T_{1, t} - T_{2, t}) \dot{m} c_p$	

	DGL	VDI	Expl.	ISO 52016 / Impl. Euler-Verfahren	CN
Leitung	$\frac{dQ}{dt} = M \cdot Q + b$			$\frac{Q_t - Q_{t-1}}{\Delta t} = MQ_t + b_t$	
Konvektion					

	DGL	VDI	Expl.	ISO 52016 / Impl. Euler-Verfahren	CN
Leitung	$\frac{dQ}{dt} = M \cdot Q + b$			<div style="border: 2px solid red; padding: 10px; text-align: center;"> <p>Hohe Ungenauigkeit bei  <math>\Delta t &gt; 5 \text{ min}</math>            → Methode ungeeignet</p> </div>	
Konvektion					

DGL

VDI

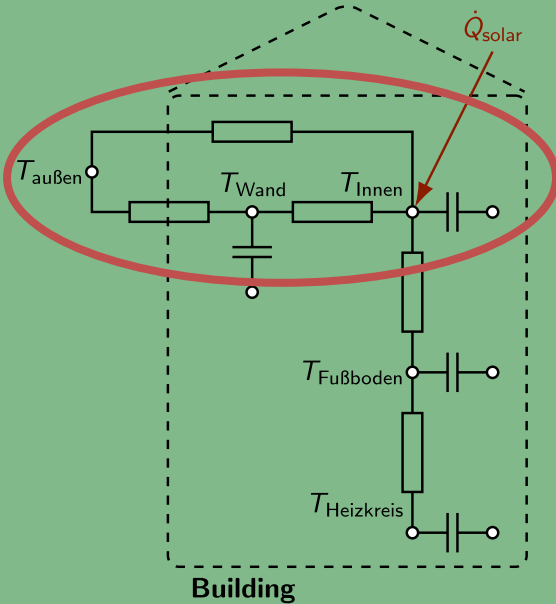
Expl.

ISO 52016 / Impl. Euler-Verfahren

CN

Leitung

Konvektion



Hohe Ungenauigkeit bei  
 $\Delta t > 5 \text{ min}$   
 → Methode ungeeignet

	DGL	VDI	Expl.	Impl.	Crank-Nicolson
Leitung	$\frac{dQ}{dt} = M \cdot Q + b$				$\frac{Q_t - Q_{t-1}}{\Delta t} = \frac{1}{2}M(Q_{t-1} + Q_t) + \frac{1}{2}(b_{t-1} + b_t)$
Konvektion					

	DGL	VDI	Expl.	Impl.	Crank-Nicolson
Leitung				<p>→ Numerisch stabil → Genauer impl. Euler</p>	
Konvektion	$\frac{dQ}{dt} = M \cdot Q + b$			<p>Aufwendige Matrix-Implementierung</p>	$\frac{Q_t - Q_{t-1}}{\Delta t} = \frac{1}{2}M(Q_{t-1} + Q_t) + \frac{1}{2}(b_{t-1} + b_t)$

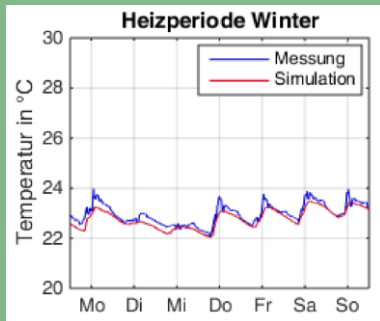


# 3. MODELLVALIDIERUNG

## Modellparametrierung & -validierung

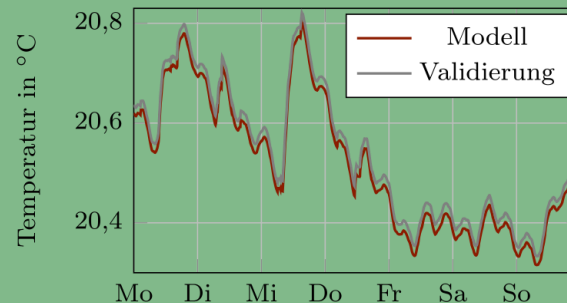
### Parametrierung

- R & C für Gebäudemodell in vorherigem Projekt an Messdaten parametriert



### Validierung

- Vergleich des neuen Modells bei zeitlich hoher Auflösung mit Modell aus vorherigem Projekt

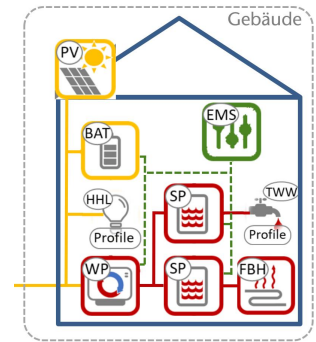




# 4. ERGEBNISSE

## Auswertung

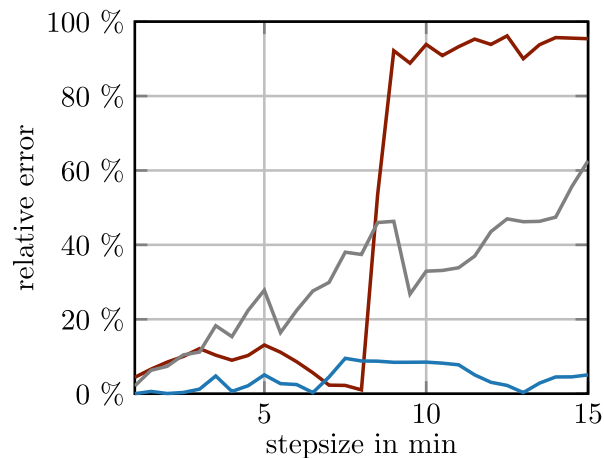
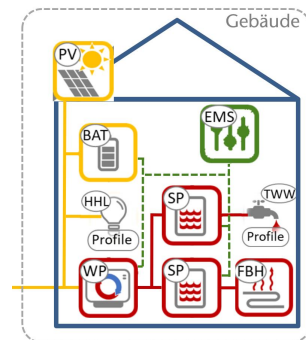
- 1 beispielhaftes Gebäude
- Simulation: Januar 2019



# 4. ERGEBNISSE

## Relativer Modellfehler

- Expl. Euler ab  $\Delta t > 7$  min unbrauchbar
- Großer Modellfehler beim impl. Euler
- Crank-Nicolson:
  - Modellfehler  $< 5\%$  bei  $\Delta t = 15$  min

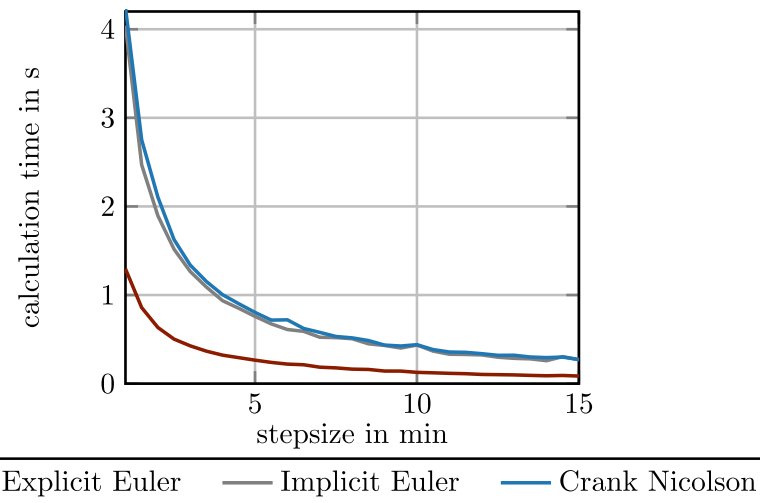
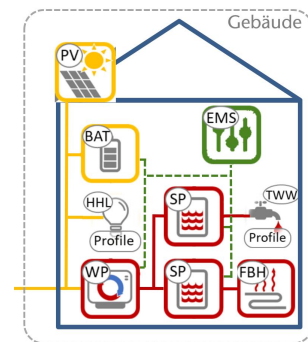


— Explicit Euler    — Implicit Euler    — Crank Nicolson

## Rechenzeit

- Höhere Rechenzeit für CN & impl. Euler bei gleichem  $\Delta t$
- CN bei  $\Delta t = 15$  min ca. 80 % schneller als expl. Euler bei  $\Delta t = 1$  min

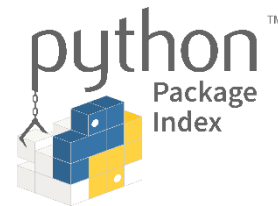
Großer Zeitgewinn durch größeres  $\Delta t$  in anderen Modellteilen





# 5. PYTHON-BIBLIOTHEK

$$\begin{aligned}
\frac{d}{dt} \begin{bmatrix} Q_1 \\ \vdots \\ Q_i \\ \vdots \\ Q_n \end{bmatrix} &= \underbrace{\begin{bmatrix} -\frac{Y_{\text{cond},1,2}}{C_{p,1}} & \frac{Y_{\text{cond},1,2}}{C_{p,2}} & & 0 & & \dots \\ & & & \vdots & & \\ & \dots & \frac{Y_{\text{cond},i-1,i}}{C_{p,i-1}} & -\frac{Y_{\text{cond},i-1,i}}{C_{p,i}} + \frac{Y_{\text{cond},i,i+1}}{C_{p,i}} & -\frac{Y_{\text{cond},i,i+1}}{C_{p,i+1}} & \dots \\ & & & \vdots & & \\ & \dots & & 0 & & -\frac{Y_{\text{cond},n-1,n}}{C_{p,n-1}} & \frac{Y_{\text{cond},n-1,n}}{C_{p,n}} \end{bmatrix}}_{\mathbf{M}_{\text{hs,cond,internal}}} \cdot \begin{bmatrix} Q_1 \\ \vdots \\ Q_i \\ \vdots \\ Q_n \end{bmatrix} \\
+ \underbrace{\begin{bmatrix} -\frac{\dot{m}_{\text{load}}+\dot{m}_{\text{unload}}}{C_{p,1}} & \frac{\dot{m}_{\text{load}}}{C_{p,2}} & & 0 & & \dots \\ & & & \vdots & & \\ & \dots & \frac{\dot{m}_{\text{unload}}}{C_{p,i-1}} & -\frac{\dot{m}_{\text{load}}+\dot{m}_{\text{unload}}}{C_{p,i}} & \frac{\dot{m}_{\text{load}}}{C_{p,i+1}} & \dots \\ & & & \vdots & & \\ & \dots & & 0 & & \frac{\dot{m}_{\text{unload}}}{C_{p,n-1}} & -\frac{\dot{m}_{\text{load}}+\dot{m}_{\text{unload}}}{C_{p,n}} \end{bmatrix}}_{\mathbf{M}_{\text{hs,conv,forced}}} \cdot c_{p,F} \cdot \begin{bmatrix} Q_1 \\ \vdots \\ Q_i \\ \vdots \\ Q_n \end{bmatrix} + \underbrace{\begin{bmatrix} T_{\text{wp,vl}} \cdot \dot{m}_{\text{load}} \cdot c_{p,F} \\ 0 \\ \vdots \\ 0 \\ T_{\text{hkf}} \cdot \dot{m}_{\text{unload}} \cdot c_{p,F} \end{bmatrix}}_{\mathbf{b}_{\text{hs,conv,forced}}} \\
+ \underbrace{\begin{bmatrix} -\frac{\dot{m}_{\text{conv,free},1 \rightarrow 2}}{C_{p,1}} & \frac{\dot{m}_{\text{conv,free},1 \rightarrow 2}}{C_{p,2}} & & 0 & & \dots \\ & & & \vdots & & \\ & \dots & \frac{\dot{m}_{\text{conv,free},i-1 \rightarrow i}}{C_{p,i-1}} & -\frac{\dot{m}_{\text{conv,free},i-1 \rightarrow i} + \dot{m}_{\text{conv,free},i \rightarrow i+1}}{C_{p,i}} & \frac{\dot{m}_{\text{conv,free},i \rightarrow i+1}}{C_{p,i+1}} & \dots \\ & & & \vdots & & \\ & \dots & & 0 & & \frac{\dot{m}_{\text{conv,free},n-1 \rightarrow n}}{C_{p,n-1}} & -\frac{\dot{m}_{\text{conv,free},n-1 \rightarrow n}}{C_{p,n}} \end{bmatrix}}_{\mathbf{M}_{\text{hs,conv,free}}} \cdot c_{p,F} \cdot \begin{bmatrix} Q_1 \\ \vdots \\ Q_i \\ \vdots \\ Q_n \end{bmatrix} \\
+ \underbrace{\begin{bmatrix} -\frac{A_{\text{Sp},M,1}}{C_{p,1} \cdot R_{\text{Sp},M,1}} & 0 & 0 \\ & \vdots & \\ 0 & -\frac{A_{\text{Sp},M,i}}{C_{p,i} \cdot R_{\text{Sp},M,i}} & 0 \\ & \vdots & \\ 0 & 0 & -\frac{A_{\text{Sp},M,n}}{C_{p,n} \cdot R_{\text{Sp},M,n}} \end{bmatrix}}_{\mathbf{M}_{\text{hs,loss}}} \cdot \begin{bmatrix} Q_1 \\ \vdots \\ Q_i \\ \vdots \\ Q_n \end{bmatrix} + \underbrace{\begin{bmatrix} \frac{T_U \cdot A_{\text{Sp},M,1}}{R_{\text{Sp},M,1}} \\ \vdots \\ \frac{T_U \cdot A_{\text{Sp},M,i}}{R_{\text{Sp},M,i}} \\ \vdots \\ \frac{T_U \cdot A_{\text{Sp},M,n}}{R_{\text{Sp},M,n}} \end{bmatrix}}_{\mathbf{b}_{\text{hs,loss}}}
\end{aligned}$$



# ThermoBuilPy

- Definition beliebiger  $xRyC$ -Systeme über Definition der R & C
- Automatische:
  - Matrizenerstellung
  - Berechnung
  - Auswertung
- Deutlich geringere Fehleranfälligkeit
- Erkennbare physikalische Zusammenhänge → Einfaches Debugging
- Schnittstelle für (MI)LP-Optimierung

- Veröffentlichtes Python-Package
- Dokumentation auf GitHub



Gefördert durch:



Bundesministerium  
für Wirtschaft  
und Energie

aufgrund eines Beschlusses  
des Deutschen Bundestages

Diese Arbeit wurde im Rahmen des Vorhabens „**WQeff**“ (FKZ 03EN3070E) durch das Bundesministerium für Wirtschaft und Energie aufgrund eines Beschlusses des Deutschen Bundestages gefördert.  
**Die Autor:innen danken dem BMW für die finanzielle Förderung.**

# FRAGEN?

## ThermoBuilPy - Anwendung

### 1. Speicher definieren

```
st1=ThermalStorage.newStorage(cap=1000,temp=30)  
st2=ThermalStorage.newStorage(cap=2000,temp=40)
```

### 2. Wärmeübertragung definieren

```
con1=Conduction(st1,st2,coeff=20)
```

### 3. Thermisches System definieren

```
thSys=ThermalSystem.newThermalSystem(  
    storages=[st1, st2],  
    conductions=[con1],)
```

### 4. Zeitreihe simulieren

```
thSys.simulate(num_steps=num_steps,stepsize=stepsize)
```

### 5. Auswertung

```
thSys.plot_temps([st1,st2])
```

